文章编号:0253-9950(2004)04-0230-04

## 后处理工艺中铀的快速分析

### 张丽华,郭魁生,刘焕良,吴继宗

中国原子能科学研究院 放射化学研究所, 北京 102413

摘要:建立了用于 PUREX 流程中常量铀的快速分析方法。方法以磺基水杨酸为显色剂 ,0.5 mol/L 三乙醇胺 0.1 mol/L 磺基水杨酸 (体积比 2.3) 为缓冲剂测定铀的含量。该方法适用于有机相和水相中常量铀的分析。取样量为 10 µL 时,水相中铀测定值的相对标准偏差  $s_r$  为 1.2%,分析时间为 3 min;有机相中铀测定值的  $s_r$  为 4.6%,分析时间为 5 min。

关键词:分光光度法;铀;磺基水杨酸中图分类号: O614.62 文献标识码: A

在后处理工艺流程控制中,铀的分析点多,分析频率高,且浓度范围跨度大 $(10^{-5} \sim 10^2 \text{ g/L})$ ,既有水相样品,也有有机相样品。因此建立快速、准确测定铀含量的方法是非常必要的。

目前关于铀分析方法的文章很多,在铀含量为5g/L以上的样品分析中,有 吸收法<sup>[1]</sup>、X射线荧光法<sup>[2]</sup>、分光光度法<sup>[3]</sup>。 吸收法由于工作曲线斜率小及透射源的 射线的统计涨落影响了方法的准确度。X射线荧光法需要制作薄膜源,测量也需要较长的时间,无法实现快速分析。而普通的分光光度法<sup>[3]</sup>在常量铀的测定中,并没有体现出快速、简单的特点。

后处理工艺的复杂性、多样性和样品的高活度,要求分析方法具有快速、自动化、远距离操作等特点。针对高浓度铀的分析,本工作选用灵敏度不高、但选择性好的磺基水杨酸作显色剂,采用便捷的取样器,并在流动注射系统中进行样品的测定,以实现快速、准确、半自动化分析。

#### 1 实验部分

#### 1.1 试剂和仪器

UV-4 型紫外-可见分光光度计,英国 UNICAM 公司产品;pH S-3C 酸度计,上海精密科学仪器有限公司产品;流动注射分析系统示于图 1。

标准铀溶液:用八氧化三铀(GBW04201,中国

核工业总公司兰州核燃料厂生产,不确定度为 0.020%)配制成一系列不同浓度的溶液;磺基水杨酸,三乙醇胺,氢氧化钠,均为分析纯,北京化工厂生产;缓冲显色混合液:0.5 mol/L 三乙醇胺 0.1 mol/L 磺基水杨酸(体积比 2 3);显色剂:0.1 mol/L 磺基水杨酸。

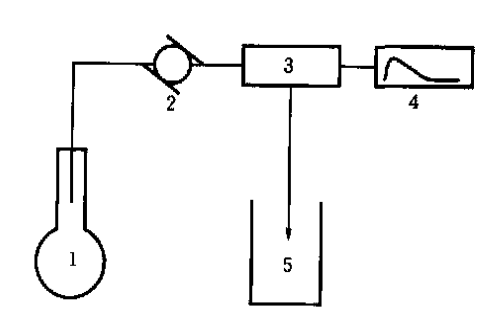


图 1 流动注射分析系统示意图

Fig. 1 Schematic chart of flow injection analysis of U

1 — 样品瓶(Sample flask), 2 — 蠕动泵(Creep pump),

3 — UV-分光光度计(UV-Spectrophotometer),

4 — 计算机(Computer), 5 — 废液杯(Waste cup)

#### 1.2 实验方法

分析水相中铀含量时,取缓冲显色混合液 5 mL 于 10 mL 容量瓶中,加入 10 µL 样品,用水稀释至刻度,摇匀,进行流动注射测定。

分析有机相中铀含量时,取缓冲显色混合液 5 mL 于 10 mL 容量瓶中,加入 10 µL 有机相样品

收稿日期:2003-12-19; 修订日期:2004-03-10

作者简介:张丽华(1971-),女,甘肃兰州人,助理研究员,分析化学专业。

和 1 mL 煤油,用水稀释至刻度,振荡 1 min,静置 2.5 min,将样品管直接插入水相,进行流动注射测定。

#### 2 结果和讨论

#### 2.1 水相中铀的测定

- 2.1.1 显色剂的选择 磺基水杨酸与铀的配合物的摩尔吸收系数 <sup>[4]</sup>为 2.6 ×10<sup>-3</sup> m²/ mol,灵敏度较低,但其化学性质稳定,水溶性很好,显色速度快,不易吸附在流动管壁上,对流通池及流通管的清洗非常有利。实验证明,磺基水杨酸(0.1 mol/L)是本实验较为理想的显色剂。
- 2.1.2 显色酸度的选择 取一定量的标准铀溶液于 10 mL 容量瓶中,加入 3 mL 0.1 mcl/L 礦基水杨酸,用 1.0 mcl/L NaOH 调节溶液的酸度至不同的 pH值,用水稀释到刻度,在波长 370 nm 处测定其吸光度,绘制酸度对吸光度影响的曲线并示于图 2。从图 2 可知,酸度的变化对有色配合物的形成有较大的影响。在 pH=6.5~8.0 范围内,配合物的吸光度基本稳定。实验选用 pH=7.0~7.5 作为显色酸度范围。

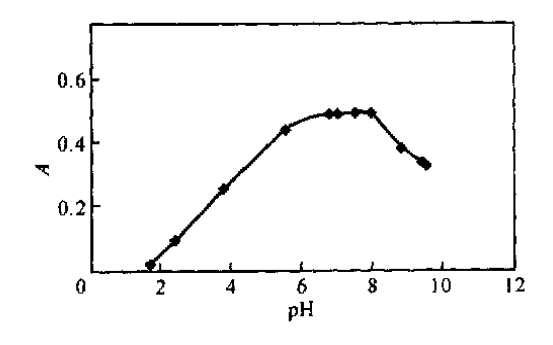


图 2 酸度对吸光度的影响

Fig. 2 Effect of acidity on absorbance  $(U) = 50~\mu\text{g/ mL}$ 

2.1.3 缓冲体系的选择及缓冲范围的测试 后处理工艺过程中铀的分析点复杂,样品的酸度范围跨度较大,因此需要选择一种缓冲容量大、缓冲能力强的缓冲体系。磺基水杨酸与三乙醇胺具有较好的缓冲能力且互溶性很好,配制在一起可以长期放置,从而不必多次添加试剂。实验对3种不同配比的缓冲体系进行比较并示于图3。从图3可看出,0.5 mol/L 三乙醇胺-0.1 mol/L磺基水杨酸(体积比23)的缓冲效果最理想。

为了确定该体系对样品酸度的缓冲范围,实验对体系的缓冲能力进行了测试并示于图 4。从

图 4 可见,当取样量为  $100~\mu L$  时,该缓冲体系对样品酸度在  $0.1\sim3.0~mol/L~HNO_3$  范围内具有很好的缓冲能力。

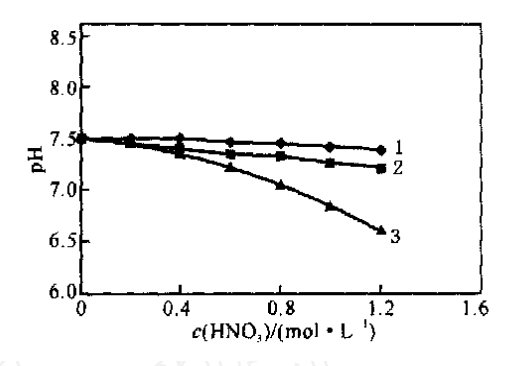


图 3 缓冲体系的选择

Fig. 3 Choice of the buffer solution

- 1 0.5 mol/L 三乙醇胺(Triethanolamine)-0.1 mol/L 磺基水杨酸(Sulfosalicylic acid) (V V=2 3);
- 2 0.5 mol/L 三乙醇胺(Triethanolamine)-0.1 mol/L 磺基水杨酸(Sulfosalicylic acid)(V V = 2.5 4);
- 3 ——0.1 mol/L 三乙醇胺(Triethanolamin)-0.1 mol/L 磺基水杨酸(Sulfosalicylic acid)(V V=7 1)

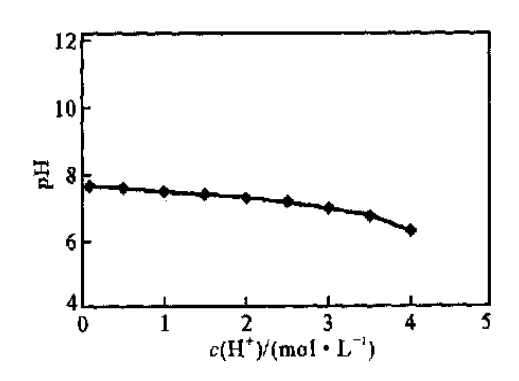


图 4 缓冲体系对样品的缓冲性能 Fig. 4 Capability of the buffer solution (U) = 50 µg/ mL

- 2.1.4 显色剂的用量 磺基水杨酸在本方法中既是显色剂,又与 0.5 mol/L 三乙醇胺组成缓冲体系。因此,它的用量既要保证配合物的生成又要具有较好的缓冲能力。实验表明,加入 1~5 mL 0.1 mol/L 磺基水杨酸,配合物的吸光度保持不变,说明显色剂的加入量足够。为了确保足够的缓冲能力,实验中采用 3 mL 0.1 mol/L 磺基水杨酸。
- 2.1.5 显色时间对吸光度的影响 显色平衡时间直接影响着配合物是否生成完全,为确定配合反应的平衡时间,绘制显色时间对吸光度的影响曲线并示于图 5。由图 5 可见,配合物可以很快达到平衡,并在较长时间内保持恒定。

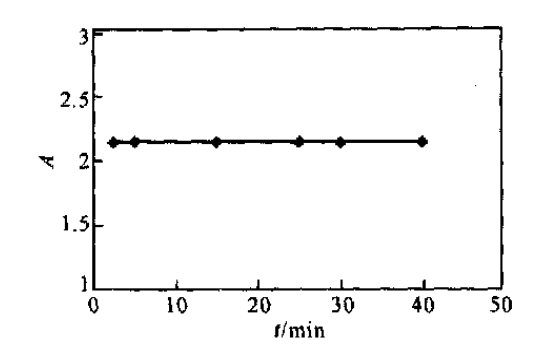


图 5 显色时间对吸光度的影响 Fig. 5 Effect of develop time on absorbance (U) = 0.2 mg/ mL

2. 1. 6 共存离子的影响 据文献[5]报道,在常量铀的分析点中,当 U 的质量浓度为  $1 \sim 200 \text{ g/L}$ 时,共存杂质的相对含量为: c (HNO<sub>3</sub>) 1 mol/L; w (Fe ,Cr ,Ni) 0.05%: a (裂片产物) 1.85 ×  $10^4$  Bq/g; m (U) m (Pu) = 1 ×  $10^3$  。

由此看出,共存杂质离子的含量比铀一般低3个数量级,不会干扰铀的测定。为准确测定杂质的干扰情况,实验测定了 Fe,Cr,Ni 的吸收谱图并示于图 6。从图 6 看出,Fe( )在 370 nm 处吸光度处于吸收峰的谷底。从上述数据可知,在铀含量为 2 mg 的样品中,杂质 Fe( )的量低于 1 μg。从图 6 可知,1 mg Fe 与显色剂形成的配合物在 370 nm 处的吸光度为 0.428,1 μg Fe 的吸光度应约为 4.2 ×10<sup>-4</sup>,低于仪器的测定下限,A 0,而 Cr( )和 Ni( )在此处基本无吸收。由此可见,杂质 Fe,Cr,Ni 不会干扰测定。

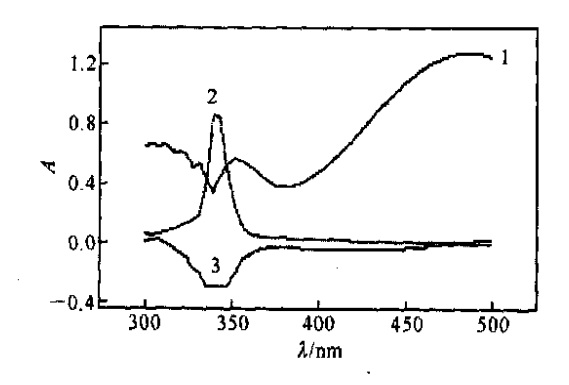


图 6 Fe( ),Cr( ),Ni( )配合物的吸收光谱
Fig. 6 Absorption curves of Fe( ),Cr( )
and Ni( )

1 — I mg Fe( ),10 mL;2 — I mg Cr( ),10 mL;
3 — I mg Ni( ),10 mL

2.1.7 吸收谱图及测定波长的选择 试剂空白和铀配合物的吸收谱图示于图 7。从图 7 看出,

空白试剂和铀配合物的最大吸收峰分别位于 290 nm 和 320 nm 处。配合物在 350 ~ 380 nm ,440 ~ 470 nm 处各有一吸收平台 ,空白试剂在这两处的吸光度基本为零。考虑到 Fe()与显色剂形成的配合物的吸光度在 400 nm 处呈上升趋势 ,为降低 Fe 的干扰 ,降低试剂空白 ,实验选用 370 nm 作为测定波长 ,以增加工作曲线的线性范围。

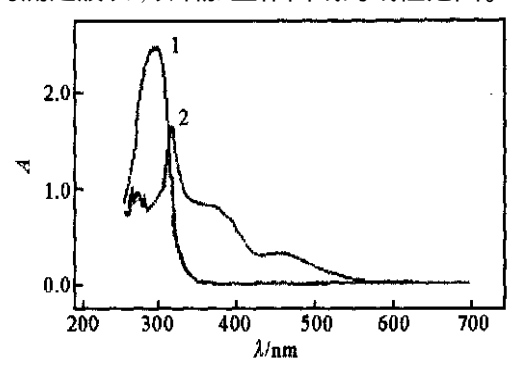


图 7 铀配合物和试剂空白的吸收光谱

Fig. 7 Absorption curves of uranium and reagent blank

(U) = 0.2 mg/ mL 1 ——试剂空白(Reagent blank)(以水作参比) (Water as reference),

2 ——铀配合物(Complex compound of U) (以空白试剂作参比) (Reagent blank as reference)

2.1.8 工作曲线和检测下限 取不同量的标准 铀溶液,在选定的显色条件下显色,绘制工作曲线 并示于图 8。

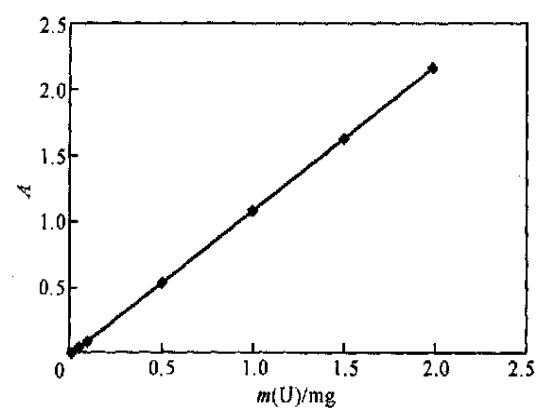


图 8 水相铀工作曲线

Fig. 8 Calibration curve for determination of uranium in aqueous phase

实验结果表明,取  $10~\mu$ L 样品于 10~mL 容量 瓶中显色,原始样品中铀质量浓度在  $5.0\sim200.0$  g/L 范围内符合比耳定律,其线性关系:

$$Y = 1.076 9 X + 0.000 2,$$
  
 $R^2 = 0.999 9.$ 

检测下限为 1.0 g/L,方法的精密度为 1.2 %。

#### 2.2 有机相中铀的测定

测定有机相中铀的含量,采用与水相中铀相 同的测定条件。

- 2.2.1 静置时间的测定 取一定量标准铀溶液 (30 %TBP/煤油),在选定的显色条件下,测试静置时间对吸光度的影响。结果表明,溶液放置 4 min 后,配合物的吸光度基本趋于稳定。
- 2.2.2 用煤油缩短静置时间 为了缩短静置时间,提高分析速度,可加入合适的稀释剂。实验采用煤油作稀释剂,加入1 mL 煤油,2.5 min 后两相已经分层完全,吸光度趋于稳定。说明煤油的加入可以缩短静置时间,且对吸光度无影响。
- 2.2.3 工作曲线 取不同量的铀标准溶液 (30 % TBP/ 煤油),在选定的显色条件下显色,绘制工作曲线并示于图 9。图 9 结果表明,取  $10 \mu L$  样品于  $10 \mu L$  容量瓶中显色,原始样品中铀质量浓度在  $5.0 \sim 100.0 \text{ g/L}$  范围内符合比耳定律,工作曲线的线性关系:

$$Y = 1.353 X + 0.026 9,$$
  
$$R = 0.997.$$

方法的精密度为 4.6%。

测定有机相中铀的含量时,工作曲线的线性 关系和方法的精密度与水相样品相比都有所下 降。主要原因是有机相粘度大,取样过程中容易 吸附在取样器的塑料管壁上,引入的误差较大。

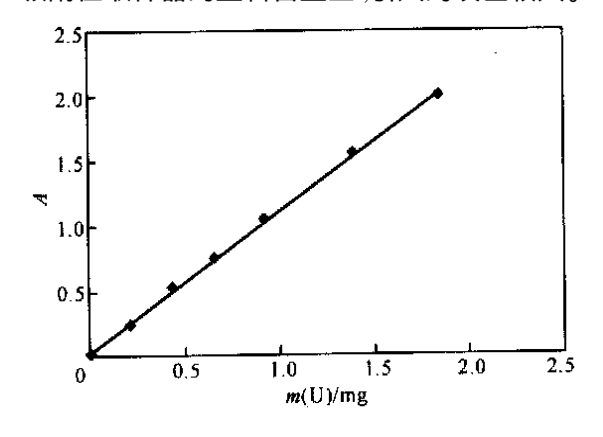


图 9 有机相铀工作曲线

Fig. 9 Calibration curve for determination of uranium in organic phase

#### 3 结 论

利用先进取样器可使准确取样量降低到

10 µL,一次取样即可直接稀释到测定范围,避免了多次稀释的过程,不仅提高了实验速度,而且减少了误差的引入,确保方法准确度。磺基水杨酸与三乙醇胺具有很好的互溶性,可同时配制,避免了多次添加试剂,简化了实验步骤。利用流动注射系统进行样品的传输测定,免去转移溶液,洗涤比色池等步骤,也大大提高了分析速度。

对有机相中铀的分析关键技术在于:把U快速转移到水相中。实验采用显色剂作反萃剂, $V_{(a)}$   $V_{(a)}$   $V_{(a)}$  = 1000 1。这样,反萃效率高,反萃速度快。为了缩短静置时间,向反萃体系中加入稀释剂煤油,这样可以省去离心分相步骤,直接将取样管插到水相,用流动注射系统测量。

采用磺基水杨酸既作显色剂,又作缓冲剂,在Fe,Cr,Ni等共存离子存在下,方法对铀测定无干扰,对于水相样品,取样量为10 μL,铀质量浓度在5.0~200.0 g/L 范围内符合比耳定律,检测下限为1.0 g/L,相对标准偏差为1.2%,分析时间为3 min。对于有机相样品,取样量为10 μL,铀质量浓度在5.0~100.0 g/L 范围内符合比耳定律,相对标准偏差为4.6%,测定周期5 min。建立了一个简便、快速的分析后处理工艺中铀浓度的方法。

#### 参考文献:

- [1] 董焱武,由文职,周其荣,等.流线分析(1977年流线 分析会议资料选编)[M].北京:原子能出版社, 1978.147.
- [2] Kierzek J. Rapid Method of Uranium Determination in Solutions Based on X-ray Fluorescence and Absorption[J]. J Radioanal Chem, 1975, 24:73 ~ 84.
- [3] Havel J , Sommer L. Komplexe Des Uranyls Mit Phenolischen Liganden . Spektralphotometrische Uranbestimmung Mittels 5-Sulfosalicylsaure [J]. Collect Czech Chem Commun, 1968, 33:529 ~ 548.
- [4] 董灵英. 铀的分析化学[M]. 北京:原子能出版社, 1982. 152.

(下转第 238 页 ,Continued on page 238)

state adjustment and quantified by a large area grid ionization chamber alpha spectrometer. The recovery of chromatographic separation is standardized to be (102 ±3.5) % by triplicate reference runs. The total alpha activity is measured in a similar way, but without carbonization and chromatographic separation. In this case a correction for self-absorption has to be made. The self-absorption coefficient is obtained by comparison of <sup>239</sup>, <sup>240</sup>Pu activities measured with and without carbonization and chromatographic separation for the same sample. In addition a continuously decreasing alpha activity profile along the depth in a TBP/ kerosene container is observed.

**Key words:** TBP/ kerosene; Pu; large area grid ionization chamber alpha spectrometry; anion exchange method; digestion; total

(上接第 233 页, Continued from page 233)

# Rapid Determination Uranium in Reprocessing Process

ZHANGLi-hua, GUO Kui-sheng, LIU Huan-liang, WU Ji-zong

China Institute of Atomic Energy, P.O. Box 275(88) ,Beijing 102413, China

**Abstract :**A method for rapid determination of amount of uranium in PUREX process streams is developed. Sulfosalicylic acid is used as developer, 0.5 mol/L triethanolamine-0.1 mol/L sulfosalicylic acid is used as buffer agent in the method. For determination of uranium in aqueous phase and organic phase, the work establishes different procedure of operation. For determination of uranium in aqueous phase, the precision is better than 1.2 %, the analysis needs 3 min. For determination of uranium in organic phase, the precision is 4.6 %, the analysis is completed within 5 min.

**Key words:** spectrophotometry; uranium; sulfosalicylic acid